

HBV X 区基因部分序列的亚克隆与 PCR 检测^{*}

袁媛 陈强 杨继红 熊国梅 刘中来
(华中师范大学生命科学学院 武汉 430079)

摘要 目的:探讨 HBV X 区基因用于乙型病毒性肝炎早期诊断价值和意义。方法:设计特异性引物,将 pBR322-HBV 质粒 X 区部分序列 PCR 产物 AT 亚克隆至 pBS-T 载体,提取和纯化质粒 DNA,再对 HBV X 区序列进行 PCR 扩增。结果:获得了预期希望的质粒。PCR 的最佳退火温度为 51℃,灵敏度达到 101 拷贝/2μl,线性范围 101—1010 拷贝/2μl。讨论:pBR322-HBV 质粒中的靶基因成功地被亚克隆至 pBS-T 载体。pBR322-HBV 中 X 区目的序列扩增产物为 57bp,该小片段勿需纯化就可直接 AT 亚克隆至新载体,有利于后续的常规 PCR 检测和 TaqMan MGB 荧光定量 PCR 检测。

关键词:乙型肝炎病毒;X 区基因;亚克隆;灵敏度

中图分类号:R512.6 文献标识码:A

Subclone of partial sequence of gene of HBV X region and PCR detection

YUAN Yuan, CHEN Qiang, YANG Ji-hong, LIU Zhong-lai

(College of life science, Central China Normal University, Wuhan 430079, Hubei, China)

ABSTRACT Objective: To explore the significance and value of HBV X region genes in the early diagnosis of Hepatitis B. **Methods:** The partial gene sequence of HBV X region in pBR322-HBV was amplified by PCR. The products amplified by PCR were sub-cloned into the pBS-T vector, which were an effective AT clone plasmid. The positive AT sub-clones were sequenced. **Results:** The expected plasmid with HBV X region gene was obtained. The optimal annealing temperature was 51℃. The sensitivity reached 101 copies per 2μl. The linear range was 101—1010 copies per 2μl. **Discussion:** The target genes in pBR322-HBV were sub-cloned to pBS-T. The amplification product of the target gene sequence in pBR322-HBV was 57bp. It can be directly sub-cloned to the new vector without purification, which favors the routine PCR and TaqMan MGB fluorescent quantitative PCR for the early detection of HBV.

Key words: HBV; Gene of X region; Sub-clone; Sensitivity

本文主要研究 HBV X 区基因保守区段,试图应用 PCR 技术检测 HBV,为乙型病毒性肝炎的早期诊断,探索最直接、最灵敏的检测方法和检测指标。现将结果报道如下。

1 材料与方法

1.1 材料

pBR322-HBV 质粒由本院微生物实验室杨继红教授提供; DH5α 菌种由本实验室保存; PCR 引物是利用引物和探针设计软件 Primer Express2.0^[1] (AB Biosystems 产品), Invitrogen 公司合成; pBS-T 连接试剂盒、50bp 分子量标准购自北京天为时代有限公司; DL3000 分子量标准购自上海生工; Taq DNA 聚合酶购自 Bio Basic Inc. (Canada); X-gal、IPTG 购自 Sigma 公司; 3S Spin Plasmid Miniprep Kit V3.1 质粒小抽试剂盒、dNTP 购自上海申能博彩有限公司; Eco RI 购自宝生物工程有限公司; 其余常规试剂为国产分析纯。

1.2 方法

1.2.1 引物设计:用 Primer Express2.0 软件对 HBV ay (Genebank 序列号: X04615) X 区保守序列设计特异性引物,引物序列和位置如下,正向引物 BF1545(1545—1563): CTCCG-CGTCTGTGCCCTCT, 反向引物 BR1601(1601—1620): TGCAGAG-GTGAAGCGAAGTG。

1.2.2 PCR 扩增 pBR322-HBV 目的基因: 反应体系为: 总体

积为 50μl,其中含 0.2mmol/L dNTP, 1.5mmol/L MgCl₂, 0.4mmol/L BF1545, 0.4m mol/L BR1601, 0.02U/μl Taq DNA 聚合酶, 模板 2μl, 1× 反应缓冲液; 在 Bio-Rad PTC-200 PCR 仪上 94℃ 10min, 94℃ 10s, 60℃ 30s, 循环 44 次。

1.2.3 感受态细胞的制备

用 CaCl₂ 制备感受态大肠杆菌^[2]。

1.2.4 AT 亚克隆^[3]

1.2.4.1 连接:电泳检测 PCR 产物,对照 Marker 估算 DNA 浓度,将剩余 PCR 产物勿需纯化,直接使用 pBS-T 连接试剂盒进行连接,体系为: 10× T4 DNA Ligation Buffer 1μl, pBS-T 载体 μl(50ng), T4 DNA Ligase 1μl (3U), PCR 产物 0.3μl(约 5ng), ddH₂O 6.7μl, 16℃ 连接 16h。

1.2.4.2 转化:取 5μl 连接液至 100μl 感受态细胞中轻轻旋转几次混匀,冰浴 30 min, 42℃ 静止热激 90s, 快速冰浴 2min, 加入 400μl SOC 培养基, 用水浴将培养基加温至 37℃, 转移至 37℃ 摆床(转速小于 225rpm/min), 温浴 45min, 取 200μl 均匀涂布于 90mm LB 平板上(平板含 Amp 终浓度为 60μg/ml, 均匀涂布 40μl X-gal 和 16μl IPTG 混合物), 待接种液完全吸收后, 颠倒培养板于 37℃ 培养 16h。

1.2.4.3 菌落 PCR^[4] 初步鉴定与测序:挑取白色菌落接种于新鲜含有 60μg/ml Amp 的 5ml 液体 LB 培养基中 37℃, 250rpm/min 振荡培养, 同时也将菌落做模板在 1.2.2 所述 PCR 反应体

* (基金项目:国家自然科学基金资助项目(No. 40172005)

作者简介:袁媛,(1981-),女,硕士研究生,研究方向:分子遗传学,E-mail: roundness027@yahoo.com.cn

通讯作者:刘中来(1952-),男,副教授,研究方向:分子遗传学,Tel:027-67867221; E-mail: zhongliu2000@yahoo.com.cn

(收稿日期:2006-06-10 接受日期:2006-07-12)

系和条件下扩增，初步鉴定阳性亚克隆。将鉴定为阳性克隆子的菌液送 Invitrogen 公司测序。

1.2.5 质粒的提取和纯化：测序结果验证为阳性亚克隆的菌液接种于新鲜含有 $60\mu\text{g}/\text{ml}$ Amp LB 液体培养基中， 37°C ， $225\text{rpm}/\text{min}$ 培养箱中振荡培养 16 小时（菌液体积：LB 液体培养基体积为 1:100），用 3S Spin Plasmid M miniprep Kit V3.1 质粒小抽试剂盒提取和纯化质粒 DNA。提取质粒经 EcoRI 单酶切后 1.5% 琼脂糖凝胶电泳检测。酶切反应体系为： $10\times\text{H 缓冲液 } 2\mu\text{l}$, EcoR I 限制性内切酶 $0.5\mu\text{l}$ ($15\text{U}/\mu\text{l}$)，质粒 $2\mu\text{l}$, ddH₂O 15.5μl; 37°C 酶切 3h。

1.2.6 质粒浓度测定：用紫外分光光度计测出质粒浓度为 $60\mu\text{g}/\text{ml}$ ($A_{260}/A_{280} = 1.85$)，计算其摩尔质量 ($60\mu\text{g}/\text{ml} \times 10^{-6}$) / (3057×666)，再与阿佛加德罗常数 6.02×10^{23} 相乘，计算出每 $2\mu\text{l}$ 质粒的拷贝数为 3.55×10^{10} copies。

1.2.7 质粒倍比稀释^[5]

取 $100\mu\text{l}$ 3.55×10^{10} copies/ $2\mu\text{l}$ 质粒用 TE 稀释至 $355\mu\text{l}$ ，浓度为 1010 copies/ $2\mu\text{l}$ ，再取 $100\mu\text{l}$ 1010 copies/ $2\mu\text{l}$ 质粒至 $900\mu\text{l}$ TE 中，浓度为 109 copies/ $2\mu\text{l}$ ，依此类推，共稀释 10 个梯度，直到 101 copies/ $2\mu\text{l}$ 。

1.2.8 PCR 最佳退火温度的确定和灵敏度检测

在 BioRad PTC-200 PCR 仪上做退火温度梯度，以确定最

佳退火温度。PCR 反应体系为 $10\times\text{PCR 缓冲液 } 5\mu\text{l}$, $25\text{mM MgCl}_2 3\mu\text{l}$, $10\text{mM dNTP } 1\mu\text{l}$, $20\mu\text{MBF1545, BR1601}$ 各 $1\mu\text{l}$, Taq 酶 1U , $106\text{copies/2}\mu\text{l}$ 质粒 $2\mu\text{l}$ ，灭菌双蒸水补足至 $50\mu\text{l}$ 。反应条件为 $94^\circ\text{C} 3\text{min}$, $94^\circ\text{C} 10\text{s}$, $50^\circ\text{C} \sim 60^\circ\text{C}$ 梯度 30s , $72^\circ\text{C} 30\text{s}$, 循环 44 次, $72^\circ\text{C} 5\text{min}$ 。PCR 产物经 3% 琼脂糖凝胶电泳，120V 电压，30min 后检测。并在最佳退火温度条件下，对 1011010 copies/ $2\mu\text{l}$ 110 种浓度的质粒做模板进行 PCR 扩增。PCR 产物以 120V 电压，30min, 3% 琼脂糖凝胶电泳检测灵敏度。

2 结果

2.1 阳性亚克隆的初步鉴定：见图 1。

2.2 测序结果

将菌落 PCR 检测为阳性亚克隆菌液，送往 Invitrogen 公司，用 377 测序仪测序。结果鉴定 HBV X 区基因部分序列已亚克隆到 pBS-T 载体。序列为 CTCCCCGTCT GTCCCTCTCATCTGCCGGACCGTGTGCACCTCGCTTGCA (图 2)。长度 57bp，在 NCBI 上 BLAST 结果证明此序列为 HBV X 区基因的部分序列。

2.3 质粒 DNA 的单酶切鉴定

结果见图 3。可见 3057bp 条带。

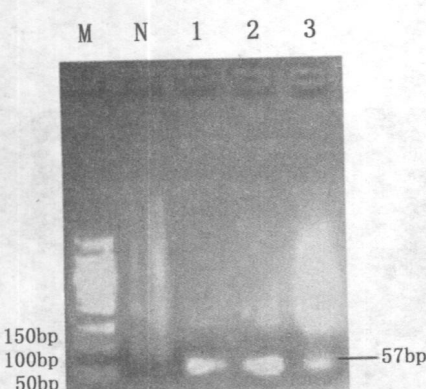


图 1 菌落 PCR 初步鉴定电泳图

M: 50bp 分子量标准；N: 阴性对照；1~3: 菌落 PCR 产物

Fig. 1 Colony PCR electrophoretogram for primary identifying

M: 50bp Marker; N: Negative control; 1-3: colony PCR product

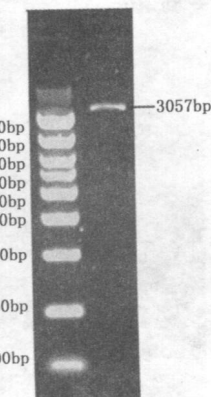


图 3 重组质粒单酶切电泳图

Fig. 3 Digesting electrophoretogram of recombination plasmid

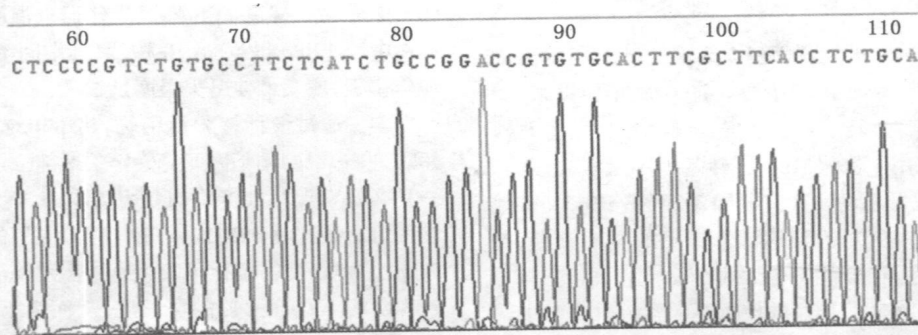


图 2 HBV X 区部分序列测序结果

Fig. 2 The partial sequence of genes of HBV X region by sequencer

2.4 退火温度的优化

确定最佳退火温度为 50.3℃, 50.9℃, 51.7℃, 均值为 51℃(图 4)。

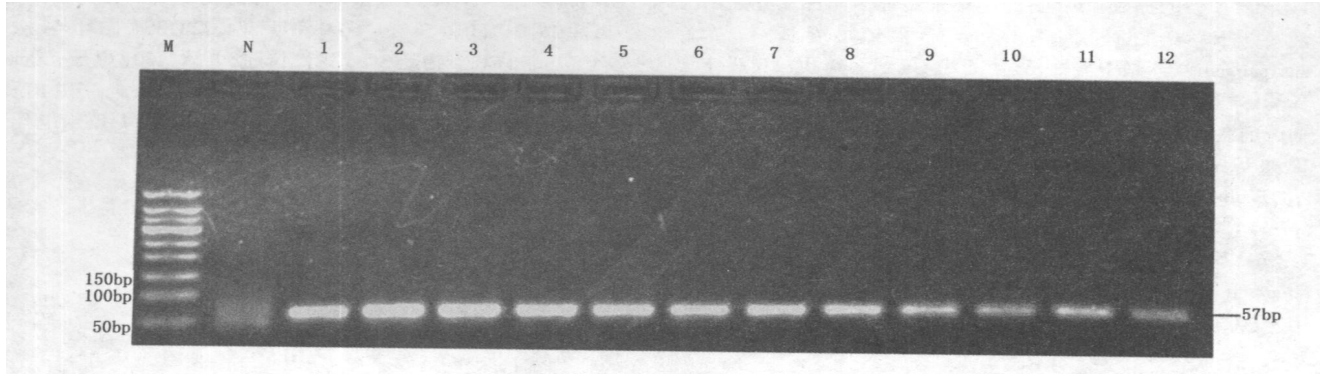


图 4 不同退火温度 PCR 产物琼脂糖凝胶电泳图

M: 50bp DNA 分子量标准; N: 阴性对照; 110 退火温度分别为 50.0℃, 50.3℃, 50.9℃, 51.7℃, 52.8℃, 54.3℃, 56.0℃, 57.4℃, 58.5℃, 59.3℃, 59.8℃, 60.0℃

Fig. 4 3% agarose gel electrophoretogram of PCR product with different annealing temperature

M: 50bp DNA Marker; N: negative control; 110: the annealing temperature are 50.0℃, 50.3℃, 50.9℃, 51.7℃, 52.8℃, 54.3℃, 56.0℃, 57.4℃, 58.5℃, 59.3℃, 59.8℃, and 60.0℃ respectively.

2.5 灵敏度的测定

扩增灵敏度达到 10¹copies/ 2μl, 线性范围为 10¹~ 10¹⁰copies/ 2μl(图 5)。

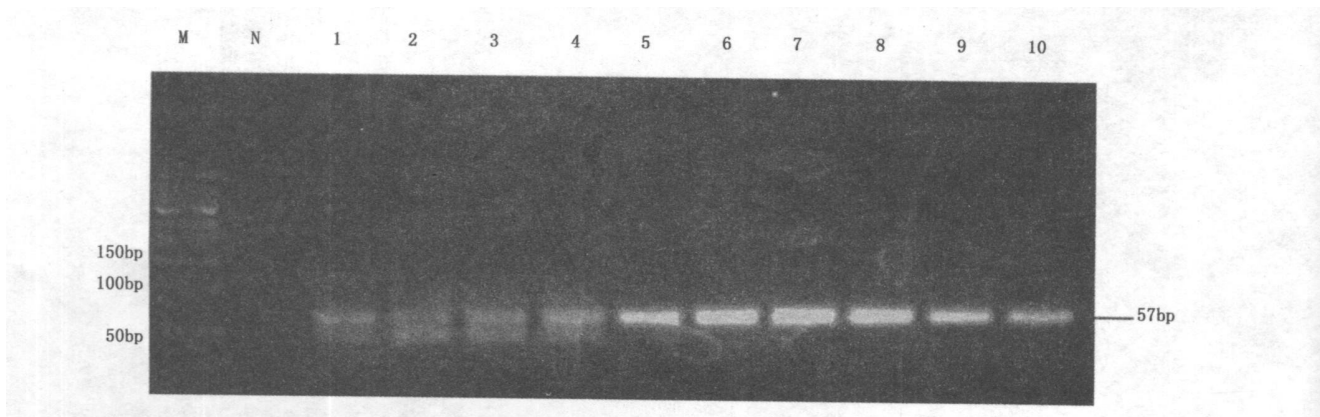


图 5 不同浓度模板 PCR 产物电泳图

M: 50bp DNA 分子量标准; N: 阴性对照; 1~ 10: 模板拷贝数为 10¹copies/ 2μl~ 10¹⁰copies/ 2μl

Fig. 5 PCR product electrophoretogram of different copy number template

M: 50bp DNA Marker; N: negative control; 1~ 10: the copy number of templates are 10¹copies/ 2μl~ 10¹⁰copies/ 2μl

3 讨论

随着分子病毒遗传学的发展而建立起来的 PCR 技术已成为病毒等病原性疾病灵敏的检测手段。自 1999 年初以来, 美国对所有采集的血液都进行了核酸扩增检测(NAT)^[6], 主要检测 HIV-1 和 HCV, 也用于检测 HBV^[7]。转基因小鼠实验证明, HBV 的 X 基因可诱发肝癌的发生^[8]。因此, 研究 HBV X 区基因, 探索敏感的检测方法, 对乙型病毒性肝炎的早期诊断, 提高治愈率, 减少并发症等都具有积极的意义。

退火温度是影响 PCR 特异性的较重要因素。本实验引物 BF1545 有 19 个核苷酸, BR1601 20 个核苷酸。按公式 $T_m = 4(G + C) + 2(A + T)$; 退火温度 = $T_m - (5 \sim 10^\circ\text{C})$ 计算出 BF1545 的退火温度为 50℃~ 54℃, BR1601 的退火温度为 47℃~ 52℃。

因此, 通过对同一浓度质粒在其他条件相同情况下, 以 50℃~ 60℃ 退火温度梯度 PCR 确定最佳退火温度, 本实验质粒浓度有 10¹~ 10¹⁰copies/ 2μl 10 种, 取其中间浓度 10⁶copies/ 2μl 质粒作模板, 摸索最佳退火温度是 51℃。

本文通过设计特异性引物, 将 pBR322-HBV 质粒(大小 10kb 左右)中的靶基因亚克隆至 pBS-T 载体。pBS-T 载体是一种高效克隆 PCR 产物的专用载体, 大小为 3000bp, 接近 HBV 基因组。通过对 pBR322-HBV 中 X 区目的序列扩增, 产物为 57bp 小片段, 勿需纯化可直接 AT 亚克隆至新载体, 进而探索 PCR 检测亚克隆片段的灵敏度, 从而为下一步荧光定量 PCR TaqMan MGB 探针的设计及为绝对定量标准曲线的制作奠定基础, 为血液筛查、临床应用提供依据。

(下转第 9 页)

3 结论

EGFR 是一种跨膜糖蛋白, 具有酪氨酸激酶活性, 由原癌基因 c-erbB-1 所编码, 是 erbB 受体家族之一, 广泛分布于分裂增生活跃的组织。其结构分为 3 个区域, 伸向膜外与 EGF 识别并结合的氨基端区域, 位于细胞膜中间单链的 α -螺旋跨膜区以及具有酪氨酸激酶活性的细胞质内的羧基端区域。大量的研究表明, 在多种肿瘤组织中存在 EGFR 高表达。表皮生长因子(EGF)与其受体(EGFR)结合成 EGF-EGFR 复合物, 直接参与、启动和调控细胞增殖的基因, 其中包括 c-fos、c-myc、c-jun 等重要编码基因, 以及与生长调节有关的重要蛋白基因, 再通过基因表达使细胞分裂增殖^[14~16]。

本研究结果表明, 超声激活 HpD 对 EGFR 的表达量及活性产生明显的影响, 使其表达量下降及其活性受到抑制。因此抑制了由 EGFR 介导的促肿瘤增殖的路径, 减缓肿瘤的生长速度, 起到一定抑癌作用。EGFR 表达量的下降, 提示可能是损伤信号使 c-erbB-1 基因的转录被抑制, 从而使 EGFR 表达下调, 最终使细胞增殖减慢且表现一定的时滞效应。而 EGFR 活性下降, 则表明了超声激活血卟啉对膜受体蛋白的直接损伤, 其结果亦导致肿瘤细胞增殖受阻。

参 考 文 献

- [1] Dougherty T J, Kaufman J E, Goldfarb A, et al. Photoradiation therapy for the treatment of malignant tumors[J]. Cancer Research, 1978, 38 (8): 2628~ 2635
- [2] Yumita N, Nishigaki R, Umemura K, et al. Synergistic effect of ultrasound and hematoporphyrin on sarcoma 180. Jpn. J. Cancer Res., Mar 1990, 81(3): 304~ 308
- [3] Yumita N, Nishigaki R, Umemura K, et al. Hematoporphyrin as a sensitizer of cell-damaging effect of ultrasound. Jpn. J. Cancer Res., 1989, 80(3): 219~ 222
- [4] Miyoshi N, Misik V, Fukuda M, et al. Effect of gallium porphyrin ana-
- [5] Misik V, Riesz P. Free radical intermediates in sonodynamic therapy [J]. Ann NY Acad. Sci, 2000, 899: 335~ 348
- [6] Halliwell B, Gutteridge J. M. C. Role of free radical and catalytic metal ions in human disease: An overview[A]. In: Methods in Enzymology [M]. San Diego, CA: Academic Press. Vol. 186, Part B. L. Packer & A. N. Glazer, Eds.: 1~ 85
- [7] Miyoshi N, Riesz I. Evidence against singlet oxygen formation by sonoysis of aqueous oxygen-saturated solutions of Hematoporphyrin and rose bengal. The mechanism of sonodynamic therapy [J]. Ultrasonic Sonochemistry, 2000, 7(3): 121~ 124
- [8] Worthington A E, Thompson J, Rauth A M, et al. Mechanism of ultrasound enhanced porphyrin cytotoxicity. PartI: A search for free radical effects [J]. Ultrasound Med. Biol., 1997, 23(7): 1095~ 1105
- [9] Jeffers R, Feng R Q, Fowlkes J B, et al. Dimethyl formamide as an enhancer of cavitation-induced cell lysis in vitro [J]. J Acoust Soc Am, 1995, 97(1): 669~ 676
- [10] 刘全宏, 王攀, 李萌, 等. 声化学激活血卟啉诱导艾氏腹水肿瘤细胞凋亡[J]. 动物学报, 2003, 49(5): 620~ 628
- [11] 刘全宏, 孙世惠, 肖娅萍. 超声激活血卟啉对 S180 细胞杀伤作用及形态学研究[J]. 中国科学, 2002, 32(5): 454~ 462
- [12] 齐浩, 谭声江, 马玉英, 等. 不同频率聚焦超声与血卟啉对人体肿瘤细胞的协同作用[J]. 中国科学(C辑), 1998, 28(5): 477~ 480
- [13] 刘全宏, 王攀, 李萌, 等. 声化学激活血卟啉诱导艾氏腹水肿瘤细胞凋亡[J]. 动物学报, 2003, 49(5): 620~ 628
- [14] 谭玉梅, 范立青, 卢光12. 表皮生长因子受体(EGFR)的细胞内信号转导[J]. 生命科学研究, 2002, 6(1): 29~ 33
- [15] 高艳景, 刘晔. 表皮生长因子受体与肿瘤治疗研究进展[J]. 国外医学肿瘤学分册, 1994, 26(2): 74~ 75
- [16] 唐剑英. 表皮生长因子受体家族信号转导与肿瘤治疗[J]. 国外医学肿瘤学分册, 2002, 29(2): 95~ 97

(上接第 6 页)

参 考 文 献

- [1] Carl W Dieffenbach, Gabriela S Dveksler. PCR primer: A Laboratory Manual[M]. 2nd edition. New York: Cold Spring Harbor Laboratory Press, 2003: 73
- [2] J. 萨姆布鲁克, DW. 拉塞尔著. 黄培堂等译. 分子克隆实验指南[M]. 第三版. 北京: 科学出版社, 2001: 98~ 105
- [3] Clark J M. Novel non-templated nucleotide addition reactions catalyzed by prokaryotic and eukaryotic DNA polymerases[J]. Nucl Acids Res, 1998, 16(2): 9677~ 9686
- [4] 唐旺盛, 李英, 朱静等. 菌落 PCR 在大规模基因组测序中的应用[J]. 生物化学与生物物理进展, 2002, 29(2): 316~ 318
- [5] Michael Kleined, Kirsten Schellenberg, Klaus Ritter. Efficient Extraction of Viral DNA and Viral RNA by the Chemagic Viral DNA / RNA Kit Allows Sensitive Detection of Cytomegalovirus, Hepatitis B Virus, and Hepatitis G Virus by PCR[J]. Journal of Clinical Microbiology, 2003, 11 (52): 5273~ 5274
- [6] Michael P Busch. Should HBV DNA NAT replace HBsAg and / or anti-HBc screening of blood donors[J]. Transfusion Clinique et Biologique, 2004, 11: 26~ 32
- [7] Susan L. Stramme, Sally Caglioti, D.M. Strong. 美国和加拿大供血的核酸扩增检测[J]. 国外医学输血及血液学分册, 2001(24)6: 538~ 539
- [8] 周新, 涂植光. 临床生物化学和生物化学检验[M]. 第三版. 北京: 人民卫生出版社, 2003: 246